

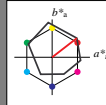
## Eingabe: Farbmimetrisches Reflexions-System ORS18

für Buntton  $h^* = lab^*h = 38/360 = 0.105$  $lab^*ch$  und  $lab^*nch$ 

D65: Buntton O

LCH\*Ma: 48 83 38

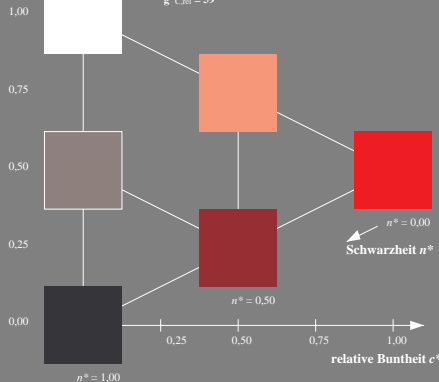
rgb\*Ma: 1.0 0.0 0.0

Dreiecks-Helligkeit  $t^*$ 

%Umfang  
 $u^*_{rel} = 93$   
 %Regularität  
 $g^*_{H,rel} = 57$   
 $g^*_{C,rel} = 59$

## ORS18; adaptierte CIELAB-Daten

	$L^*=L^*_a$	$a^*_a$	$b^*_a$	$C^*_{ab,a}$	$h^*_{ab,a}$
RMa	47.94	65.37	50.52	82.62	38
JMa	90.37	-10.27	91.77	92.34	96
GMa	50.9	-62.79	34.95	71.87	151
G50BMa	58.62	-30.35	-45.01	54.3	236
BMa	25.71	31.11	-44.42	54.24	305
BS0RMa	48.13	75.27	-8.35	75.73	354
NMa	18.01	0.0	0.0	0.0	0
WMa	95.41	0.0	0.0	0.0	0
RCIE	39.92	58.66	26.98	64.56	25
ICIE	81.26	-2.17	67.76	67.79	92
GCIE	52.23	-42.26	11.75	43.87	164
BCIE	30.57	1.15	-46.84	46.87	271



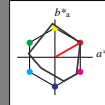
## Ausgabe: Farbmimetrisches Reflexions-System MRS18

für Buntton  $h^* = lab^*h = 30/360 = 0.083$  $lab^*ch$  und  $lab^*nch$ 

D65: Buntton R

LCH\*Ma: 50 77 30

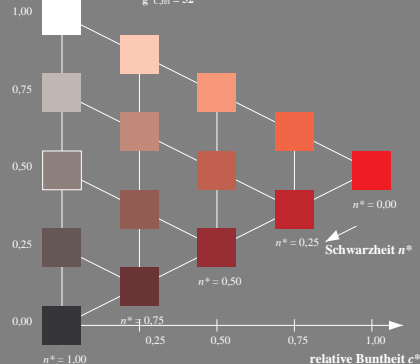
rgb\*Ma: 1.0 0.0 0.0

Dreiecks-Helligkeit  $t^*$ 

%Umfang  
 $u^*_{rel} = 91$   
 %Regularität  
 $g^*_{H,rel} = 41$   
 $g^*_{C,rel} = 52$

## MRS18; adaptierte CIELAB-Daten

	$L^*=L^*_a$	$a^*_a$	$b^*_a$	$C^*_{ab,a}$	$h^*_{ab,a}$
RMa	49.63	66.96	38.37	77.18	30
JMa	90.7	-6.36	88.75	88.98	94
GMa	52.11	-69.73	9.44	70.37	172
G50BMa	45.03	-36.57	-28.47	46.36	218
BMa	36.65	23.19	-63.05	67.18	290
BS0RMa	34.94	57.17	-44.26	72.31	322
NMa	18.01	0.0	0.0	0.0	0
WMa	95.41	0.0	0.0	0.0	0
RCIE	39.92	58.66	26.98	64.56	25
ICIE	81.26	-2.17	67.76	67.79	92
GCIE	52.23	-42.26	11.75	43.87	164
BCIE	30.57	1.15	-46.84	46.87	271

UG60-7, 3stufige Reihen für konstanten CIELAB Buntton  $38/360 = 0.105$  (links)BAM-Prüfvorlage UG60; Farbmimetrik-Systeme ORS18 & MRS18  
D65: 3 und 5stufige Farbreihen für 10 Bunttöne5stufige Reihen für konstanten CIELAB Buntton  $30/360 = 0.083$  (rechts)input: cmy0\* setcmycolor  
output: no change compared to input